

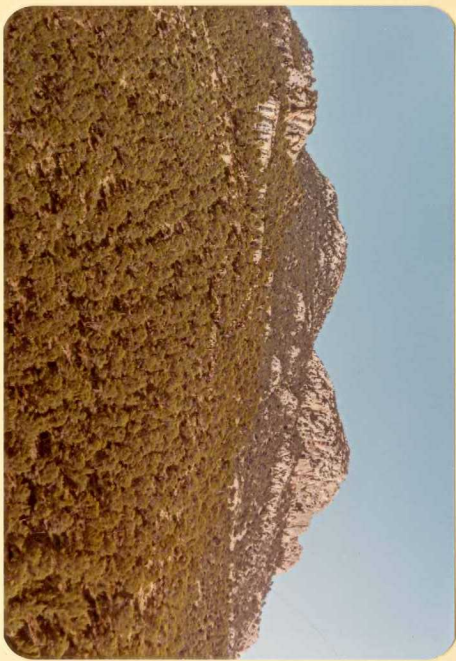


F. 9181. Vista del Aptiense-Albiense, desde la Sierra
del Carche



F. 9182. Aptiense-Albiense Sierra del Carche

F. 9183. Vista general de la Sierra del Carche



F. 9184. Dolomias del Cenomaniense (U-23), Sierra del
Carche



F. 9185. Detalle de las mismas





F. 9186. Campaniense-Maastrichtiense (U-24) Sierra del
Carche



F. 9187. Otro detalle (U-24) del Campaniense-Maastrichtiense



F. 9188. Aspecto general de la unidad anterior en la
Sierra del Carche



F. 9189. Paleoceno. Prebetico interno Septentrional.
Sierra del Carche



F. 9190. Otro aspecto de estas Dolomias (U-23)



F. 9191. Prebetico interno central. Cretacio superior (Cenomaniense) en los alrededores de Pinoso



F. 9192. Vista general de la Unidad 26, Eoceno inferior
Paleoceno? en el Carche



F. 9193. Arcillas verdes del Paleoceno en Pinoso, junto a la carretera de Yecla



F. 9194. Arenas, conglomerados y cantes blandos a techo de la unidad anterior. Eoceno

F. 9195. Calizas con Nummulites. Eoceno del Carche (U-27)





F. 9196. Vista general del Oligoceno del Carche. El resalte último corresponde a las Biocalcarenitas del Mioceno inferior



F. 9197. Conglomerados y arcillas salmón. Oligoceno (U-29)
Sierra del Carche



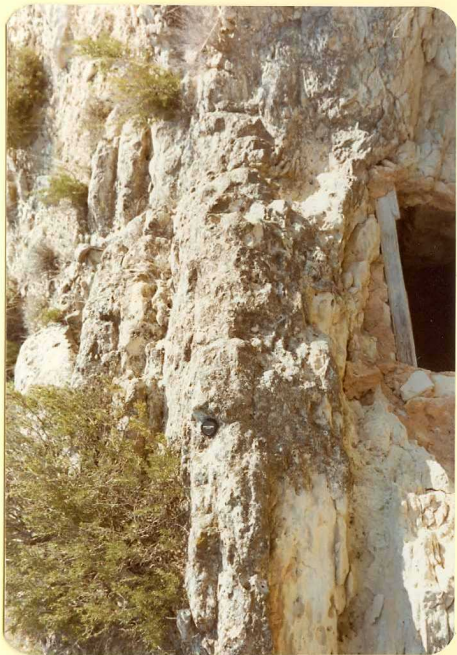
F. 9198 . Conglomerados y arcillas salmón de Culebron



F. 9199. Detalle de la unidad anterior (U-15)



F. 9200. Arcillas rojas y verdes con Turritellas (U-14) en la proximidades de Chirnolet, en la carretera Pinoso-Monovar



F. 9201. Detalle de las Biocalcarenitas



F. 9202. Las mismas unidades (U-38 y 41) en las cercanías de la Sierra de Salinas



F. 9203. Turbiditas y Margas del Mioceno medio en las proximidades de Monovar



F. 9204. Contacto entre la unidad U-38 y U-42 en esa zona



F. 9205. Detalle de los niveles turbidíticos



F. 9206. Otro detalle de los niveles turbidíticos



F. 9207. Flanco meridional del anticlinal cretacio de la Sierra de Salinas



F. 9208. Vista general de la Sierra de Umbria. Oligoceno (U-17) y Mioceno (U-35)



F. 9209. Glacis desarrollado en la vertiente oriental de la Sierra del Carche



F. 9210. Diapiro de Pinoso

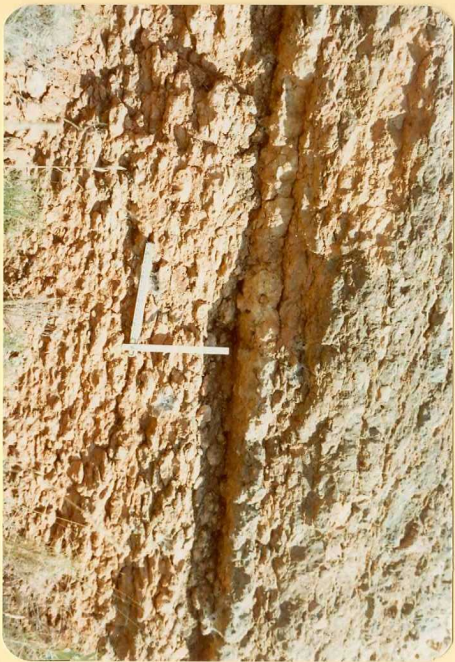


F. 9211. Subbético. Calizas del Lias (U-2)

F. 9212. Calizas y margo-calizas del Malm. Subbético



F. 9213. Detalle de la foto anterior unidad (U-4)





F. 9214. Frente del Manto Subbético en Algueña



F. 9215. Cretacico inferior (Neocomiense), U-5. Subético
(Sierra de Argueña)



F. 9216. Paleoceno-Eoceno inferior. Arcillas verdes a veces con yesos. Torre del Rico. Prebetico interno central



F. 9217. Detalle de las calizas con Nummulites



F. 9218. Flanco Oriental del anticlinal de Zafra. Arcillas verdes y calizas con Nummulites (Eoceno inferior medio)



F. 9219. Eocene (U-12) Anticlinal del Coto



F. 9220. Calizas Pararecifales (Eoceno superior). Las Ence
bras



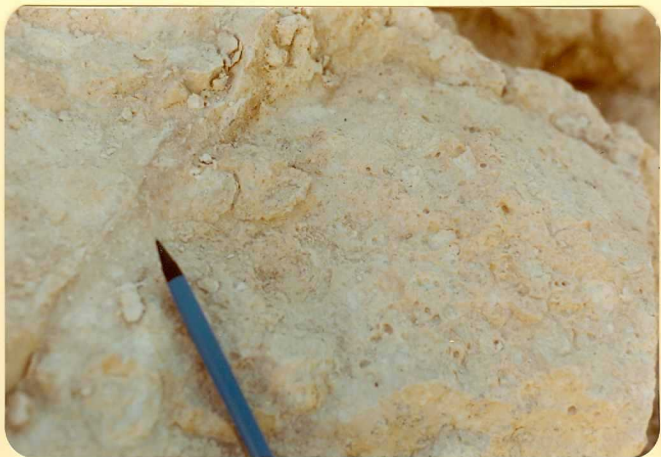
F.9221. Anticlinal del Coto. Eoceno y en primer término
Oligoceno (U-16)



F. 9222. Oligoceno de la Pedriza, Calizas arenosas y arcillas (U-18)



F. 9223. Detalle de las mismas (U-18)



F. 9224. Caliza de algas del Mioceno inferior



F. 9225. Vista general de Eoceno inferior y Mioceno, en
Torre del Rico



F. 9226. Margas y Biocalcarenitas en las proximidades de Casas del Señor. Mioceno (U-37)



F. 9227. Detalle de la foto anterior



F. 9228. Margas blancas (U-38) del Mioceno medio-superior
en las proximidades de la Raja



F. 9229. Margas blancas y Biocalcarenitas superiores
(U-38 y 41) al Norte de Torre del Rico



F. 9230. Depósitos Plio-cuaternarios en la Rambla de la Raja



F. 9231. Vista general anticlinal de Torre del Rico